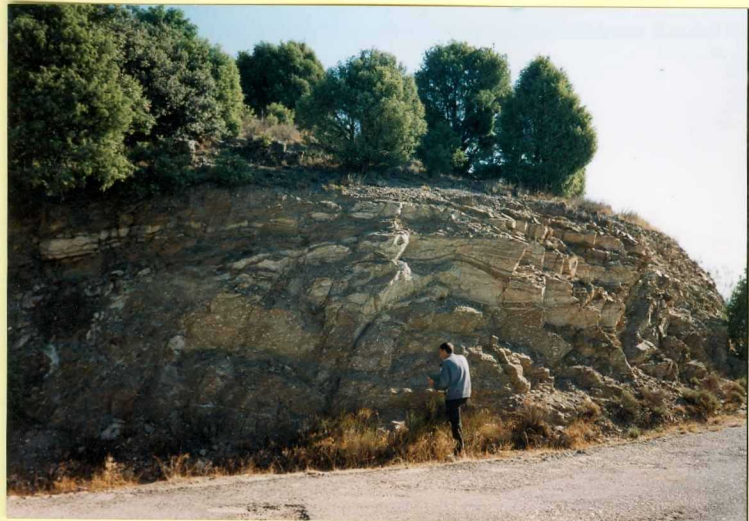




F-9201

Aspecto característico de los metasedimentos preordovícicos (Unidad 9)



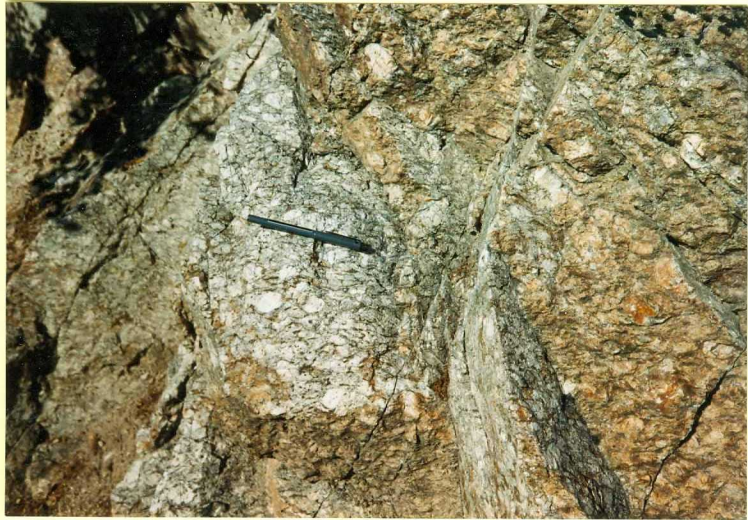
F-9202

Contacto entre metasedimentos (Unidad 9) y neises glandulares (Unidad 7).
Se observan intercalaciones de éstos en los metasedimentos (Carretera del canal del Atazar)



F-9203

Detalle de una de las intercalaciones de neises glandulares en metasedimentos



F-9204

Aspecto característico de los ortoneises glandulares (Unidad 7)



F-9205

Esquistosidad de fase 2 en los ortoneises glandulares definida por la presencia de fenocristales elongados y ribbons de cuarzo



F-9206

Afloramiento de leuconeises (Unidad 8) al oeste del paraje de Los Trigos



F-9207 Aspecto de los afloramientos graníticos del ámbito de Colmenar Viejo



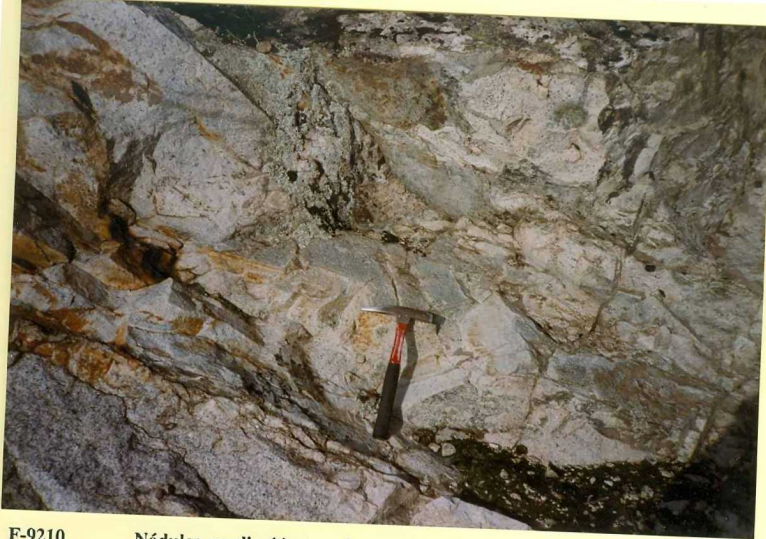
F-9208

Detalle de los granitos tipo Colmenar Viejo (Unidad 1)



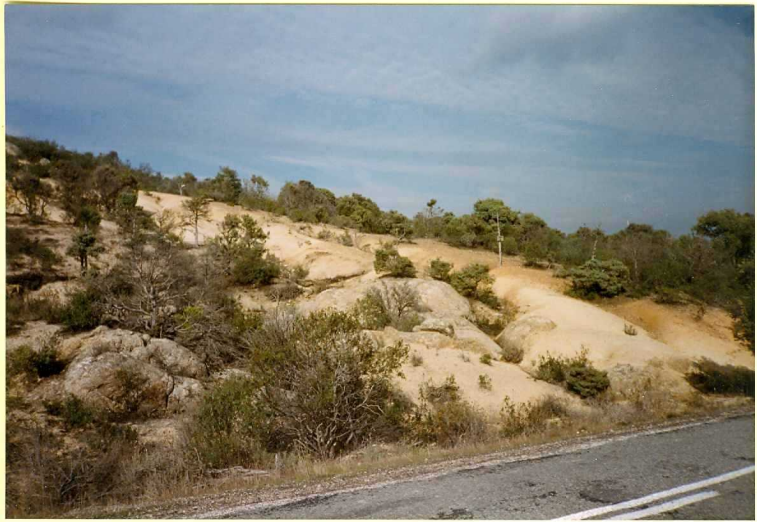
F-9209

Afloramiento de los leucogranitos tipo El Pendolero (Unidad 2)



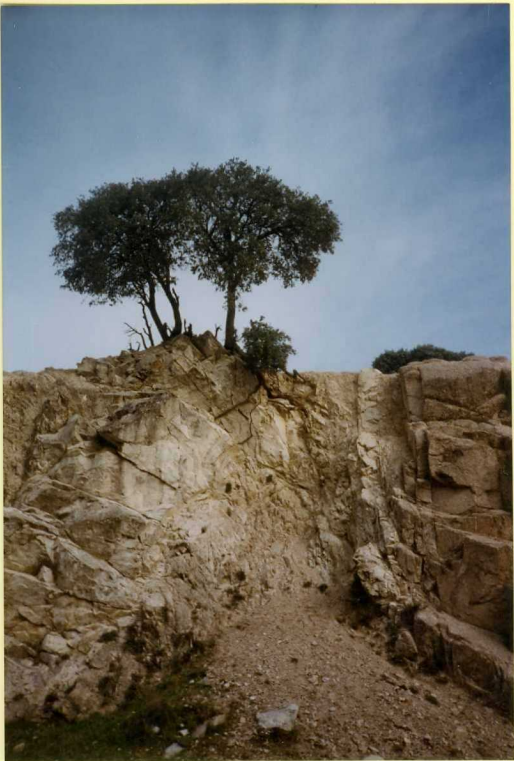
F-9210

Nódulos cordieríticos en los granitos tipo Hoyo de Manzanares
(Unidad 3)



F-9211

Características alteraciones de los granitos tipo Hoyo de Manzanares



F-9212

Dique aplítico cortando a los granitos tipo Colmenar Viejo en el paraje de La Salcera



F-9213

Panorámica de la Cuenca de Madrid, con la capital al fondo, desde el paraje de La Salcera



F-9214

Límite entre la Cuenca Terciaria de Madrid y los materiales del zócalo hercínico, representados por el cerro Marmota a la derecha



F-9215

Afloramiento de arenas finas y limos rojos (Unidad 12) en el arroyo de la Fresnera



F-9216

Contacto entre los carbonatos de la unidad (13) y las arcosas y arcillas de la unidad (14), atribuido al Aragoniense superior al pie del cerro de La Laguna



F-9217

Típicas facies de borde de la unidad (14)



F-9219

Acarcavamiento de materiales arcósicos (Unidad 15) en el Monte de El Pardo



F-9220

Sección correspondiente a la unidad (15) en el paraje de El Portillo



F-9221

Espectacular corte de la unidad anterior (15) en el Monte de El Pardo



F-9222

Típicos acarcavamientos labrados en los materiales arcósicos miocenos al sur de Colmenar Viejo



F-9223

Facies de borde de los materiales arcósicos al sur de Colmenar Viejo



F-9224

Afloramiento de arcosas (unidad 18) junto a la casa de Navachescas (Monte de El Pardo)



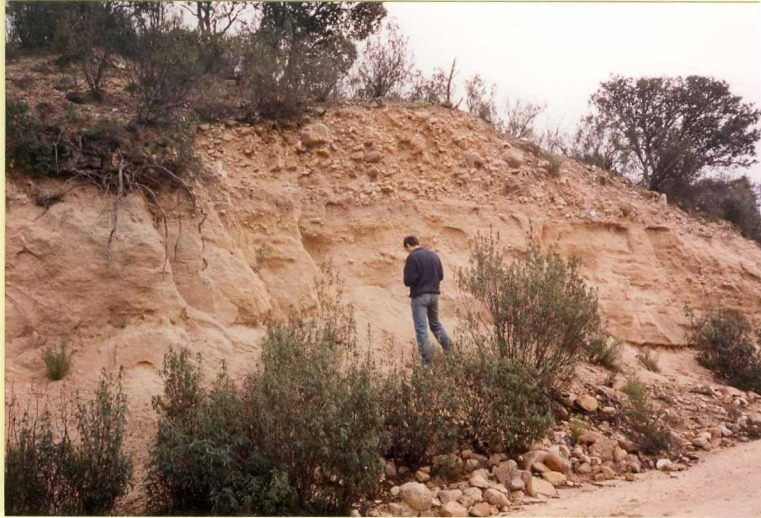
F-9225

Facies de "grandes bloques" (Unidad 17) al sureste de Colmenar Viejo



F-9226

Incisión fluvial del arroyo de Manina (Monte de El Pardo)



F-9227

Terrazas sobre arcosas de la unidad (15) en el arroyo de Manina



F-9228

Terrazas medias del río Jarama en la carretera a Cobeña



F-9229

Contacto por falla inversa entre los leucogranitos tipo El Pendolero y los depósitos arcósicos de la Cuenca de Madrid, junto al arroyo del Guindo



F-9230

Contacto de idéntica naturaleza al anterior, al sur del paraje de La Salcera



F-9231

Panorámica de la "rampa" de Colmenar, con la Sierra de Hoyo de Manzanares al fondo



F-9232

Nueva panorámica de la "rampa", con la Sierra de San Pedro al fondo



F-9233

Presa del Grajal en el curso alto del Manzanares



F-9234

Típica explotación abandonada de pórfido, en las inmediaciones de Colmenar Viejo



F-9235

Explotación abandonada de W-Sn junto al arroyo del Guindo